

# ФЕДЕРАЛЬНОЕ ГОСУДАРСТВЕННОЕ БЮДЖЕТНОЕ ОБРАЗОВАТЕЛЬНОЕ УЧРЕЖДЕНИЕ ВЫСШЕГО ОБРАЗОВАНИЯ МОСКОВСКИЙ ГОСУДАРСТВЕННЫЙ УНИВЕРСИТЕТ имени М.В.ЛОМОНОСОВА

Физический факультет Лаборатория инженерной физики

### Создание Web-инетерфейса для изучения фазовых переходов второго рода в двумерных структурах малых размеров

Курсовая работа по программированию студента 2-ого курса Ромшина А.М.

Преподаватель	А.А. Алексеев
---------------	---------------

## Содержание

Введение 3

### Введение

Изучение систем, состоящих из большого числа взаимодействующих частиц, является одной из важнейших проблем современной физики. Особый интерес представляет термодинамическое поведение веществ при возникновении определённого типа упорядочения. Переход системы в более упорядоченое состояние совершается в узкой области температур и называется фазовым переходом.

Проблема фазовых переходов до сих пор остается одной из актуальных проблем теоретической физики. Главные задачи, решаемые статистической теорией фазовых переходов, заключаются в выяснении механизма возникновения фазовых переходов и определении их параметров.

Большой интерес представляют фазовые переходы второго рода, связанные с перестрой-кой структуры вещества без обмена энергией с окружающей средой. Описание фазовых переходов на основе микроскопической модели вещества представляет большие математические трудности ввиду сложной структуры реальных веществ и сложных потенциалов взаимодействия между атомами. В связи с этим для исследования закономерностей фазовых переходов рассматриваются модели, отображающие основные свойства реального тела и позволяющие провести численное или аналитическое описание системы и таким образом описать фазовый переход.

В данной работе рассматривается переход ферромагнетик—парамагнетик при помощи модели Изинга с его графической Web-реализацией.

### Постановка задачи

Основной задачей является визуализация результатов численного моделирования поведения двумерных стуктур во внешних полях в зависимости от температуры при помощи метода Монте-Карло и алгоритма Метрополиса в виде Web-интерфейса, а именно:

- ullet построение зависимостей энергии системы, приходящейся на один спин, и средней намагниченности от температуры с помощью библиотеки jQPlot.js
- представление кристаллической решётки после определённого числа блужданий (в нашем случае оно фиксировано и равно 100) средствами JavaScript.

### Решение задачи

### Теоретическое введение

**Модель Изинга** представляет собой предельно упрощённую статистико-механическую модель, описывающую как равновесные свойства системы, так и фазовый переход второго рода, происходящий в системе. Данная модель содержит три основных предположения:

- 1) упорядочивающиеся объекты фиксированы в узлах кристаллической решётки;
- 2) каждый объект может находиться лишь в двух состояниях;
- 3) учитывается взаимодействие лишь между ближайшими объектами.

Рассмотрим плоскую квадратную решётку, состоящую из N узлов, в каждом из которых находится диполь с осью, перепендикулярной к плоскости решётки. Диполь может иметь две противоположные ориентации, так что общее число возможных конфигураций в решётке равно  $2^N$ . Для описания различных конфигураций поступим следующим образом. С каждым узлом решётки (с координатами  $k, l \in \mathbb{Z}$ ) свяжем переменную  $\sigma_{kl}$ , принимающую два значения  $\pm 1$ , соответствующие двум возможным ориентациям диполя. Если ограничиться только учетом взаимодействия между соседними диполями, то энергия конфигурации может быть записана в виде

$$E(\sigma) = -J \sum_{k,l=1}^{L} (\sigma_{kl}\sigma_{k\,l+1} + \sigma_{kl}\sigma_{k\,l-1} + \sigma_{kl}\sigma_{k-1\,l} + \sigma_{kl}\sigma_{k+1\,l}) - \sum_{k=1}^{L} H_k\sigma_k =$$

$$= -\sum_{k,l=1}^{L} J_{kl}\sigma_k\sigma_l - \sum_{k}^{L} H_k\sigma_k$$
(1)

где L - число узлов в ребре решётки( $N=L^2$ ). Параметр J определяет энергию взаимодействия пары соседних диполей, равную -J и +J соответственно для одинаковых и противоположных ориентаций диполя. Положим J>0; тогда наименьшей энергией обладает полностью упорядоченная(поляризованная) конфигурация, в которой все диполи ориентиованы в одну сторону. Эта конфигурация имеет место при абсолютном нуле, а с увеличением температуры степень упорядоченности убывает, обращаясь в нуль в точке перехода, когда обе ориентации каждого диполя становятся равновероятными. Определение термодинамических величин требует вычисления статистической суммы

$$Z = \sum_{(C)} e^{-E(\sigma)/T} = \sum_{(\sigma)} \exp\left\{\theta \sum_{k,l} \sigma_k \sigma_l + \sum_{k}^L H_k \sigma_k\right\},\tag{2}$$

взятой по всем  $2^N$  возможным конфигурациям(здесь  $\theta = J/T$ ).

При h=0 каждый энергетический уровен дважды вырожден в силу инвариантности энергии взаимодействия относительно "переворота" всех диполей (изменения знака всех  $\sigma_k$ ). Преобразование  $\sigma_k \to -\sigma_k$  вместе с тождественным преобразованием образует группу симметрии  $Z_2$ . Фазовые переходы в модели Изинга связаны со спонтанным нарушением этой симметрии. Включение внешнего поля нарушает симметрию  $Z_2$ . Вероятность нахождения системы в состоянии с энергией  $E\{\sigma\}$  определяется распределением Гиббса:

$$P\{\sigma\} = \frac{1}{Z} \exp(-\beta E\{\sigma\})$$

где  $\beta = (k_B T)^{-1}$ , Z - статистическая сумма.

### Использование метода Монте-Карло в статистической физике

Основная задача статистической физики — вычисление с помощью модельного гамильтониана  $\hat{H}$  требуемых средних характеристик системы. Термодинамическое усреднение любой наблюдаемой величины  $A(\sigma)$  определяется как:

$$\overline{A(\sigma)} = \frac{1}{Z} \int A(\sigma) \exp\left[-H(\sigma)/k_B T\right] d\sigma \tag{3}$$

Выражение  $P(\sigma) = \frac{1}{Z} \exp\left[-H(\sigma)/k_BT\right]$  считается плотностью вероятности, описывающей статистический вес конфигурации  $\sigma$  в термодинамическом равновесии.

Применение метода Монте-Карло в равновесной статистической физике основано на идее аппроксимации уравнения (3), где интегрирование осуществляется по всем состояниям  $\{\sigma\} = \{\sigma_1, \sigma_2, \dots, \sigma_k\}$  с соответствующими весами  $P(\sigma)$ , а также на выборе вероятностей перехода системы из одного состояния в другое.

Выбор состояния системы осуществляется путем сэмплирования по схеме  $\Gamma$ иббса (алгоритм Метрополиса или выборка по значимости). В соответствии с оной каждое следующее состояние  $\{\sigma_{k+1}\}$  получается из предыдущего  $\{\sigma_k\}$  при помощи функции  $P_1(\sigma_k \to \sigma_{k+1})$  (вероятности перехода). Причем вероятность  $P_1(\sigma_k \to \sigma_{k+1})$  выбирается так, что при  $N \to \infty$  функция распределения состояний стремится к равновесному состоянию. Для этого достаточно выполнения принципа детального равновесия:

$$P(\sigma_k)P_1(\sigma_k \to \sigma_{k+1}) = P(\sigma_{k+1})P_1(\sigma_{k+1} \to \sigma_k)$$

Полученное соотношение означает, что отношение вероятностей прямого и обратного переходов зависит только от  $\delta E = E\{\sigma_k\} - E\{\sigma_{k+1}\}$ :

$$\frac{P_1(\sigma_k \to \sigma_{k+1})}{P_1(\sigma_{k+1} \to \sigma_k)} = \exp(-\beta \,\delta E)$$

Поэтому функция  $P_1(\sigma_k \to \sigma_{k+1})$  берётся в следующем виде:  $P_1(\sigma_k \to \sigma_{k+1}) = \exp(-\beta \, \delta E)$ .

## Описание и реализация алгоритма Метрополиса в виде программы на языке C++

В данной работе рассматривается магнитная интерпретация модели Изинга. А значит в узлах кристаллической решётки располагаются магниные диполи(спины), принимающие два возможных значения:  $\pm 1$ . Также

Вершины кристаллической решётки располагаются в ячейках таблицы заданного размера с двумя возможными системами сосдества. Каждой конфигурации системы приписывается энергия  $E\left\{\sigma\right\}$  в соответствии с формулой (20).

Описание алгоритма метода Монте-Карло для заданной модели:

- 1) задание исходной конфигурации
- 2) выбор k-ого узла кристаллической решётки
- 3) вычисление вероятности перехода  $P(\sigma_k)$
- 4) генерация случайного числа  $R \in [0,1]$
- 5) если  $P(\sigma_k) > R$ , то спин меняет знак на противоположный
- 6) если  $P(\sigma_k) < R$ , то спин не меняет своего знака

**Реализация алгоритма**. При реализации конфигурацию кристаллической решётки удобно представить в виде двумерного массива. Для этого введём обозначение  $\sigma_{kl}$  - значение спина элемента решётки, находящегося в k-ой строке и l-ом столбце. В случае четырёхугольной системы соседства, соседями узла (k, l) являются узлы (k - 1, l), (k + 1, l), (k, l - 1), (k, l + 1).

В качестве начального состояния системы выбирается случайная конфигурация. Далее выбирается произвольный узел (k,l), считается энергия данного состояния. Затем значение s спина в данном узле меняется на противоположное и также считается энергия.

Разность энергий  $E\{\sigma_{-s}\} - E\{\sigma_{s}\}$  определяет вероятность перехода, а именно:

- 1) Если  $\delta E \leq 0$ , то фиксируется состояние, с противоположным значением спина.
- 2) Если  $\delta E > 0$ , то генерируется случайное число R, которое сравнивается с  $P_1(\sigma_k \to \sigma_{k+1})$ . В том случае, когда  $R < P_1(\sigma_k \to \sigma_{k+1})$ , результат совпадает с предыдущим, иначезначение спина в узле не меняется.

Перейдём теперь к описанию непосредственно самой программы. Следующая функция отвечает за энергию конфигурации. В качестве входных данных выступают: указатель на двумерный динамический массив(кристаллическая решётка определённой конфгурации), значение внешнего поля в относительных единицах, ширина и высота решётки, введённые пользователем в файле **index.php**.

#### Листинг 1: Расчёт энергии конфигурации double FindingOfEOC(int\*\* LOS, int h, int HI, int WI) { double EOC = 0; 3 4 5 for (int n = 0; n < HI; n++) for (int m = 0; m < WI; m++) 6 { EOC += (-0.5)\*(LOS[n][m] \* LOS[n][m + 1 - WI \* ((int)(m / (WI-1)))]+ LOS[n][m] \* LOS[n][m - 1 + WI \* ((int)((WI- 1 - m) / (WI - 1)))+ LOS[n][m] \* LOS[n + 1 - HI \* ((int)(n /(HI - 1)))][m] + LOS[n][m] \* LOS[n-1+H] \* ((int)((HI-1-n)/(HI-1)))][m]) - h\*LOS[n][m]; return (EOC); 10 } 11

Функция представленная ниже производит выборку по значимости (неспосредственно алгоритм Метрополиса) магнитного дипольного момента в указанном узле. Входные параметры: текущее значение спина, энергия конфигурации с этим значением, энергия конфигурации с противоположным спином и температура.

Данная функция вызывается для каждого узла кристаллической решётки при заданной температуре. Будем называть такую совокупность вызовов этой функции одним блужданием системы среди вероятных по Больцману состояний. Таким образом, в результате многочисленных блужданий система приходит в одно из вероятных состояний. Как уже упомяналось выше в нашем случае число блужданий равно 100.

```
Листинг 2: Выборка по значимости
      int SelectionByProbability(int VOE, double EOC, double EONC, double T)
      {
         float ExpProbability;
3
4
         float RandProbability;
5
         ExpProbability = exp((-1)*abs(EONC - EOC) / T);
         RandProbability = double(rand()) / RAND MAX * (1);
8
         if ((EONC - EOC) \le 0)
9
         return((-1)*VOE);
10
         else
11
12
           if (RandProbability < ExpProbability)</pre>
13
           return((-1)*VOE);
14
15
           return (VOE);
16
        }
17
      }
```

Следующие методы считают энергию и намагниченность системы после конечного числа блужданий.

#### Листинг 3: Расчёт энергии и намагниченности системы

```
int FindingEOS(double CE, double T, int NOI)
    {
2
      double EOC;
3
      double Chis = 0;
      double StatSum = 0;
5
6
      EOC = CE / NOI;
      Chis = EOC*exp((-1)*EOC / T);
      StatSum = exp((-1)*EOC / T);
9
      return(Chis / StatSum);
10
    }
11
12
    double FindingMagnetization(int** LOS, int HI, int WI)
13
14
      double Mag = 0;
15
      int N = HI*WI;
16
17
      for (int n = 0; n < HI; n++)
18
      for (int m = 0; m < WI; m++)
19
      {
20
        Mag += LOS[n][m];
21
22
      return (Mag / N);
23
24
25
    double FindingMagSquaredAverage(double CM, int NOI)
26
27
      return(pow(CM / NOI, 0.5));
28
    }
```

## Графическое представление результатов средствами jQPlot и JavaScript

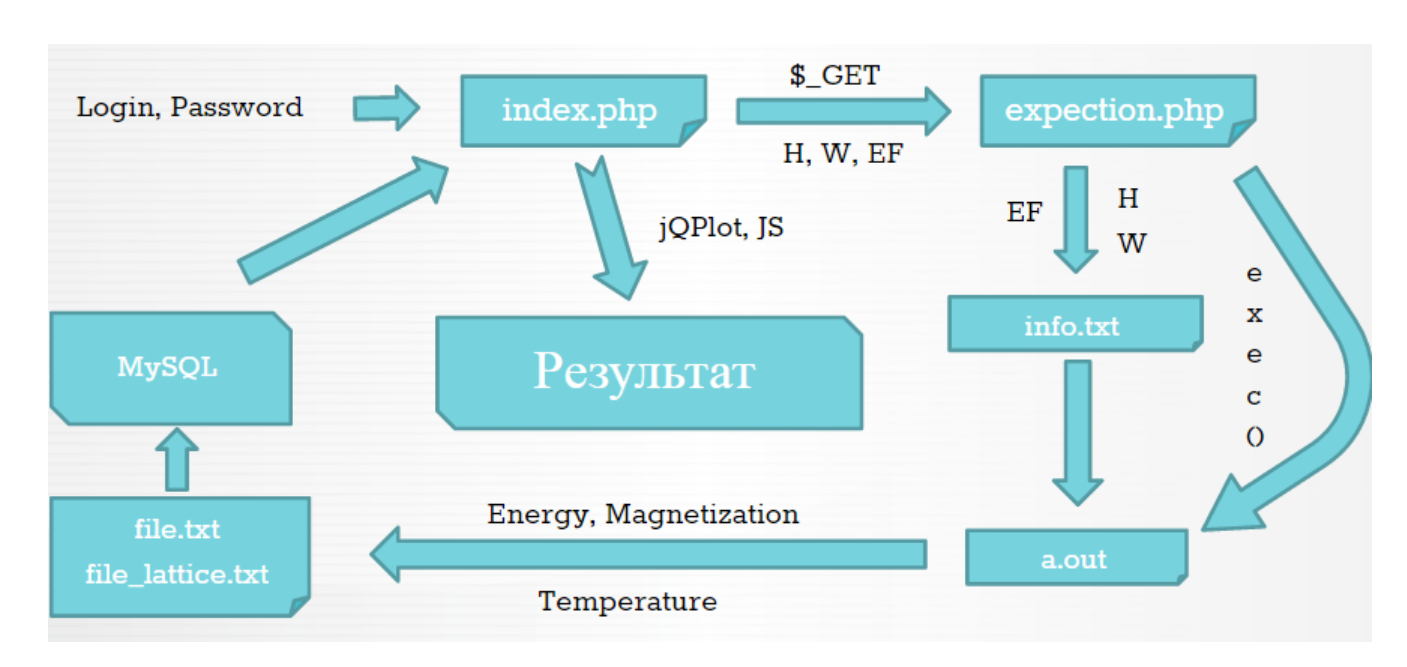


Рис. 1

Рассмотрим устройство Web-интерфейса поэтапно.

1) Пользователь вводит свои регистрационные данные в форму, находящуюся в файле **index.php**, отправляет их методом **POST** обработчику **lib.php**, где происходит индентификация имени пользователя и его пароля в соответствии с ранее внесенными данными в БД MySQL.

Если же регистрационные данные отсутствуют, то пользователю предлагается пройти регистрацию, в процессе которой также происходит обработка формы путём передачи данных методом **POST** файлу **brab.php** с последующим их внесением в БД.

2) После процесса идентификации пользователя ему представляется возможность выбрать размер кристаллической решётки, физические характеристики которой он хочет получить, и значение внешнего поля. Нажимая кнопку "Рассчитать всё, что можно! "введённые данные отправляются методом **GET** обработчику **expection.php** следующей функцией *JavaScript*:

```
Листинг 4: Функция перенаправления с передачей параметров

window.location.href = 'http://test2.ru/expection.php?Height='+Height+

'&Width='+Width+'&ExternalField='+ExternalField +

'&username=<?php echo $_SESSION['login']; ?>';
```

3) На странице **expection.php** происходит считывание данных из глобального массива **GET** и последующая их передача программе, написанной на языке C++, путём записи в файл. При помощи функции **exec()** программа запускается и по выполнении создает два текстовых файла, характеризующих состояние системы при заданных условиях. Скрипт **expection.php** ожидает выполнения внешней программы, а после - заносит полученные файлы в БД, одновременно перенаправляя пользователя на страницу **index.php**, где выводятся графические результаты пользовательских запросов.

4) С помощью модуля jQPlot на странице **index.php** отображаются две графические зависимости. Рассмотрим более детально работу этого модуля.

```
Листинг 5: Модуль jQPlot
        plot magnetization = $.jqplot('Magnetization', [magnetization], {
           title: 'Relatance Energy Of Temperature',
2
3
           axes:{
4
             xaxis: {
               tickOptions: {
                 formatString: '%.1f'
               }
             },
             yaxis: {
               tickOptions: {
10
                 formatString: '%.1f'
11
             }
13
14
           highlighter: {sizeAdjust: 7.5},
15
           cursor: {show: false}
16
        });
```

На вход ему подается двумерный массив чисел [x,y], а в теле метода **.jqplot** указываются характеристики объекта(графической зависимости):

- title отвечает за название графика
- axis,xaxis и yaxis дают возможность подписывать оси

Графический вывод кристаллической решётки осуществляется в виде таблицы, каждая ячейка которой соответствует узлу решётки. В соответствии с моделью Изинга спин в каждом узле может принимать лишь два значения: "+1" - зелёная ячейка, -1 - красная ячейка.

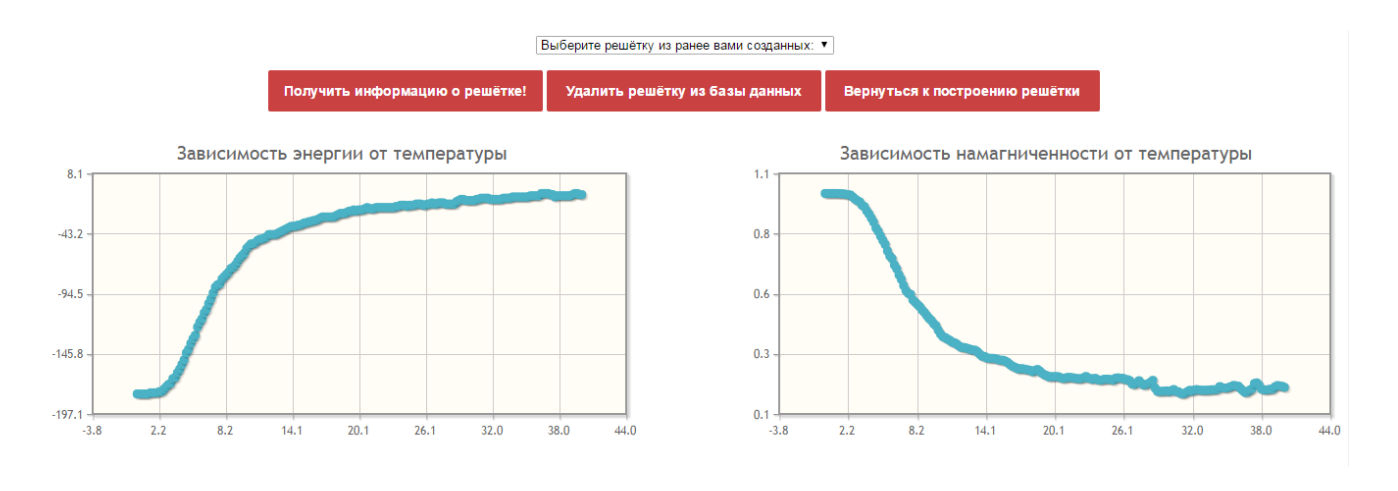
- 5) На странице графического вывода пользователь также имеет следующие возможности:
- получать данные о ранее созданных системах
- удалять эти данные
- вернуться к созданию новых систем

### Результат работы

В результате получен Web-интерфейс, дающий возможность визуализировать фазовый переход второго рода в двумерных структурах.

К сожалению, полученная программа удобна лишь для моделирования фазового перехода второго рода в системах малых размеров при малых внешних полях. При увеличении размеров увеличивается время ожидания, однако результат в таком случае лучше коррелирует с теоретическим.

Также данная программа на адаптирована для большого числа объектов, так как на каждую созданную пользователем кристаллическую решётку приходится две таблицы в БД. Число этих таблиц может достигать нескольких тысяч, что влечёт за собой соответсвующие проблемы.



### Распределение спинов по узлам решётки:

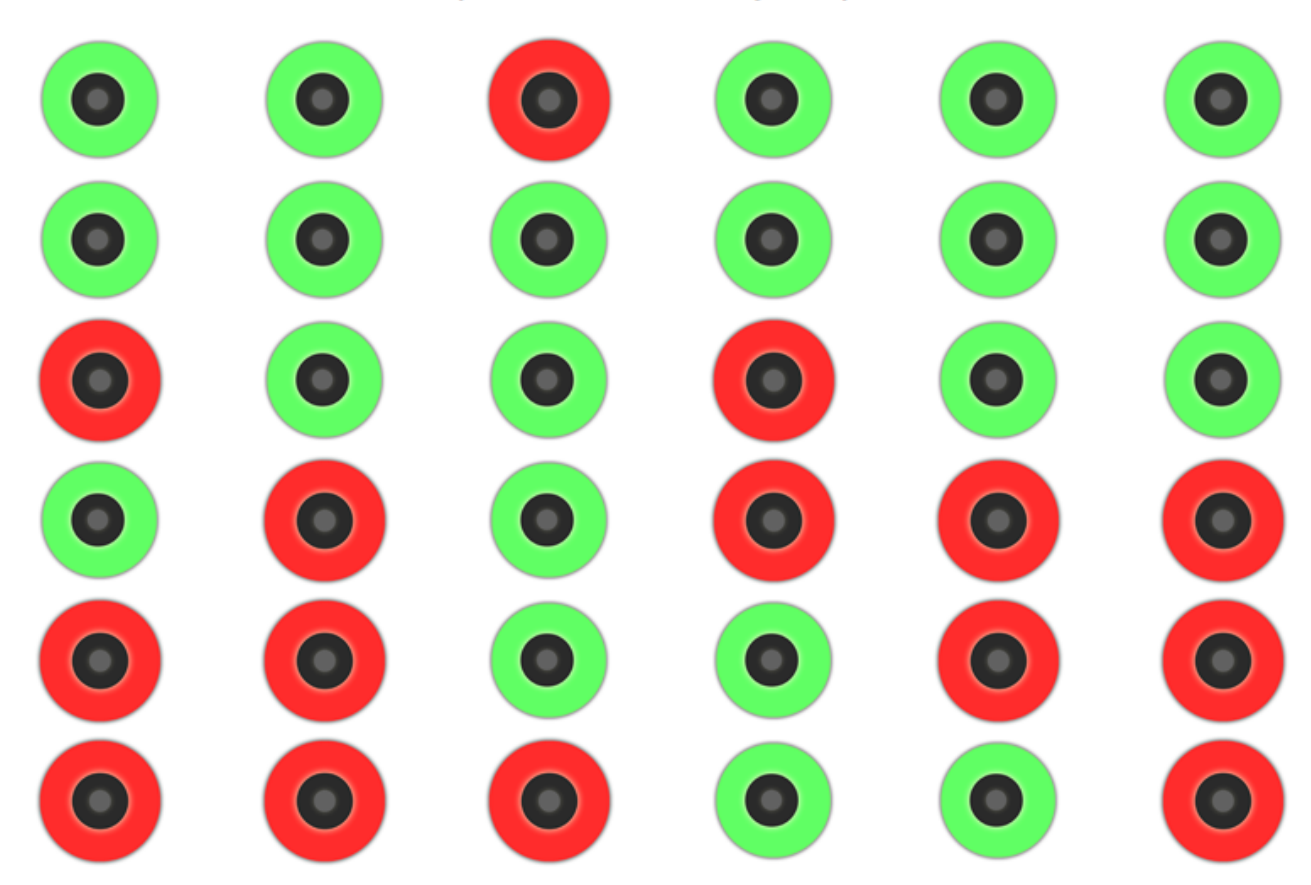


Рис. 2

### Руководство по использованию программы

На первом этапе пользователь проходит регистрацию или идентификацию. Описываться этот процесс здесь не будет, так как эта процедура в наше время не представляет никаких сложностей.

По завершении инициализации пользователь выбирает размер кристаллической решётки и значение внешнего поля в относительных единицах.

После этого пользователь переходит на страницу результатов, где представлены зависимости энергии системы и ее намагниченности от температуры. Ниже графиков расположена кристаллическая решётка после конечного числа блужданий. Здесь красный круг отвечает значению спина в узле 1", а зелёный круг - "+1"



Рис. 3